



Laboratorium EMVO Sp. J. Urbański, Pawelak  
ul. Jasna 1  
00-013 Warszawa

tel. +48 22 780 29 64  
e-mail: laboratorium@emvo.pl



AB 1630

## Sprawozdanie z pomiarów pól elektromagnetycznych - środowisko ogólne nr 141/07/OŚ/2022– P4-W



<b>Nr i nazwa stacji</b>	<b>LUB1036G</b>	
<b>Adres</b>	<b>Lublin, ul. Główna 34, pow. Lublin, woj. lubelskie</b>	
<b>Opracowanie</b>		<b>Specjalista ds. pomiarów</b>
<b>Autoryzacja</b>		<b>Kierownik Laboratorium</b>
<b>Podpis</b>	Podpis jest prawidłowy Dokument podpisany przez [redacted] Data: 2022.08.04 07:07:14 CEST Powód: Zatwierdzam dokument	
<b>Data</b>	<b>2022-08-02</b>	

## Spis treści

1. Informacje ogólne.....	3
2. Podstawa prawna. ....	3
3. Opis pomiarów.....	4
4. Zróżnicowanie dopuszczalne poziomy pól elektromagnetycznych.....	5
5. Charakterystyka źródeł PEM.....	5
6. Wyniki pomiarów.....	5
7. Stwierdzenie zgodności .....	6
8. Oświadczenie.....	8
9. Spis załączników. ....	9

## 1. Informacje ogólne.

Zleceniodawca	P4 sp. z o.o., ul. Wynałazek 1, 02-677 Warszawa osoba udzielająca informacji- [REDACTED]
Istotne informacje dostarczone przez klienta	komplet informacji niezbędnych do wykonania pomiarów i opracowania sprawozdania
Dane otrzymane od klienta mogące mieć wpływ na ważność wyników	Dane anten sektorowych, dane anten radioliniowych, parametry pracy instalacji, ustawienie pochylenia anten
Prowadzący instalację	P4 sp. z o.o., ul. Wynałazek 1, 02-677 Warszawa
Lokalizacja obiektu	Lublin, ul. Główna 34, pow. Lublin, woj. lubelskie
Miejsce instalacji anten	Komin
Miejsce instalacji urządzeń	Outdoor
Osoby wykonujące pomiar	[REDACTED]
Data wykonania pomiaru	02.08.2022
Temperatura na początku pomiaru [°C]	26,0
Temperatura na koniec pomiaru [°C]	26,0
Warunki atmosferyczne	Brak opadów
Wilgotność na początku pomiaru [%]	48,0
Wilgotność na koniec pomiaru [%]	48,0
Godzina na początku pomiaru	12:57
Godzina na koniec pomiaru	14:47
Inne źródła pól elektromagnetycznych oznaczone na załączniku graficznym	Występują
Parametry pracy instalacji	Tryb eksploatacyjny

## 2. Podstawa prawna.

### 2.1 Normy i rozporządzenia:

- Rozporządzeniem Ministra Klimatu z dnia 17 lutego 2020 r. w sprawie sposobów sprawdzania dotrzymania dopuszczalnych poziomów pól elektromagnetycznych w środowisku (Dz.U. 2020 poz. 258)
- Rozporządzenie Ministra Zdrowia z dnia 17 grudnia 2019 r. w sprawie dopuszczalnych poziomów pól elektromagnetycznych w środowisku (Dz.U. 2019 poz. 2448)
- Obwieszczenie Marszałka Sejmu Rzeczypospolitej Polskiej z dnia 19 lipca 2019 r. w sprawie ogłoszenia jednolitego tekstu ustawy - Prawo ochrony środowiska (Dz.U. 2019 poz. 1396)
- Rozporządzenie Ministra Klimatu i Środowiska z dnia 6 maja 2022 r. zmieniające rozporządzenie w sprawie sposobów sprawdzania dotrzymywania dopuszczalnych poziomów pól elektromagnetycznych w środowisku (Dz.U. 2022 poz. 1121).

„Bez pisemnej zgody Laboratorium niniejsze sprawozdanie nie może być powielane inaczej, jak tylko w całości. Ponadto wyniki dotyczą tylko badanych obiektów przywołanych w niniejszym sprawozdaniu z badań”

### 3. Opis pomiarów

Metodologia pomiarowa	Pomiary w oparciu o Rozporządzeniem Ministra Klimatu z dnia 17 lutego 2020 r. w sprawie sposobów sprawdzania dotrzymania dopuszczalnych poziomów pól elektromagnetycznych w środowisku (Dz.U. 2020 poz. 258) oraz Rozporządzenie Ministra Klimatu i Środowiska z dnia 6 maja 2022 r. zmieniające rozporządzenie w sprawie sposobów sprawdzania dotrzymywania dopuszczalnych poziomów pól elektromagnetycznych w środowisku (Dz.U. 2022 poz. 1121).
Cel badań	Określenie wartości natężenia pola elektrycznego w miejscach dostępnych dla ludności.
Opis zestawu pomiarowego	Miernik Narda NBM 550, Sonda EF9091, o zakresie pomiarowym 0,7 V/m - 300V/m pracująca w paśmie 0,1 – 90 GHz, świadectwo wydane przez Laboratorium Wzorców i Metrologii Pola Elektromagnetycznego, Instytut Telekomunikacji, Teleinformatyki i Akustyki Politechniki Wrocławskiej. Świadectwo ważne do 10.06.2024r. Miernik Narda NBM 550, Sonda EF9091 pracująca w zakresie temperatury -10°C - +50°C oraz wilgotności 5% - 95%. Niepewność rozszerzona 59 % przy poziomie ufności 95% z uwzględnieniem współczynnika rozszerzenia k=2.
Wyposażenie pomocnicze	Termohigrometr Bestone, typ: GM1362-EN-00, nr identyfikacyjny 1222436, świadectwo wzorcowania z dn. 03.04.2017r. wydane przez Laboratorium Pomiarowe "MUTECH". Przymiar wstęgowy STABILA, nr identyfikacyjny 5/WL/2016, świadectwo wzorcowania z dn. 06.09.2016 r. wydane przez Zespół Laboratoriów wzorcujących Okręgowego Urzędu Miar w Gdańsku. Dalmierz laserowy BOSH GLM 40, Świadectwo wzorcowania L4-L41.4180.141.2018.3061.1 z dnia 12 września 2018 wydane przez Pracownia Długości Samodzielnego Laboratorium Długości w Głównym Urzędzie Miar. GPS Garmin 64s okresowo sprawdzany w punktach osnowy geodezyjnej klasy 3 na podstawie licencji punktu, zgodnie z procedurą sprawdzeń okresowych IS/PO-16-11/03.
Pomiary zostały wykonane	<ol style="list-style-type: none"><li>1. na głównych i pomocniczych kierunkach pomiarowych, na kierunkach zbliżonych do azymutów anten oraz w dodatkowych pionach pomiarowych zgodnie z wymaganiami pkt 12, 13, 14 i 19 Rozporządzenia Ministra Klimatu z dnia 17 lutego 2020 r. (Dz. U. 2020, poz. 258) oraz Rozporządzenia Ministra Klimatu i Środowiska z dnia 6 maja 2022 r. zmieniającego rozporządzenie w sprawie sposobów sprawdzania dotrzymywania dopuszczalnych poziomów pól elektromagnetycznych w środowisku (Dz.U. 2022 poz. 1121).</li><li>2. na obszarze pomiarowym, dla którego, na podstawie uprzednio przeprowadzonych obliczeń stwierdzono w miejscach dostępnych dla ludności występowanie pól elektromagnetycznych o najwyższym poziomie, które pochodzą z badanej instalacji zgodnie z wymaganiami pkt 5 ppkt 2 oraz pkt 13 ppkt 1 Rozporządzenia Ministra Klimatu z dnia 17 lutego 2020 r. w sprawie sposobów sprawdzania dotrzymania dopuszczalnych poziomów pól elektromagnetycznych w środowisku (Dz. U. 2020, poz. 258) oraz Rozporządzenia Ministra Klimatu i Środowiska z dnia 6 maja 2022 r. zmieniającego rozporządzenie w sprawie sposobów sprawdzania dotrzymywania dopuszczalnych poziomów pól elektromagnetycznych w środowisku (Dz.U. 2022 poz. 1121). Wyniki obliczeń nie uwzględniały parametrów pracy instalacji innych operatorów występujących na obiekcie bądź w obszarze pomiarowym.</li><li>3. w miejscach dostępnych dla ludności.</li><li>4. miejsca niedostępne podczas wykonywania pomiarów wskazane zostały</li></ol>

„Bez pisemnej zgody Laboratorium niniejsze sprawozdanie nie może być powielane inaczej, jak tylko w całości. Ponadto wyniki dotyczą tylko badanych obiektów przywołanych w niniejszym sprawozdaniu z badań”

w pkt 6 (tabeli wyniki pomiarów).

Szczególne warunki podczas wykonywania pomiarów

Pomiary wykonane zostały podczas obowiązywania w kraju stanu zagrożenia epidemicznego, zgodnie z art. 122a ust. 1b Ustawy z dnia 27 kwietnia 2001 r. – Prawo ochrony środowiska (Dz. U. z 2019 r. poz. 1396, z późn. zm.9)).

Warunki pracy urządzeń nadawczych

Tryb pracy eksploatacyjny.

#### 4. Zróżnicowanie dopuszczalne poziomy pól elektromagnetycznych.

Zakresy znajdują się w Dzienniku Ustaw z dnia 17 grudnia 2019 r. przedstawione są w tabeli nr 2 (Dz. U. z 2019r. poz. 2448).

Parametr fizyczny	Składowa elektryczna E (V/m)	Składowa magnetyczna H (A/m)	Gęstość mocy S (W/m <sup>2</sup> )
Zakres Częstotliwości pola elektromagnetycznego			
od 400 MHz do 2000 MHz	$1,375 \times f^{0,5}$	$0,0037 \times f^{0,5}$	f / 200
od 2 GHz do 300 GHz	61	0,16	10

#### 5. Charakterystyka źródeł PEM.

Zgodnie z informacją otrzymaną od Klienta pomiary zostały wykonane przy ustawieniach pochylenia anten zgodnych z pkt. 13, ppkt 2 Rozporządzenia Ministra Klimatu z dnia 17 lutego 2020 roku.

Tabela 1. Anteny sektorowe - dane otrzymane od klienta

Charakterystyka promieniowania		kierunkowa															
Rzeczywisty czas pracy [h/dobę]		24															
Rodzaj wytwarzanego pola		stacjonarne															
L p	Wyszczególnienie	sektor 1					sektor 2					sektor 3					
<b>Nadajnik stacji bazowej:</b>																	
1	Typ / Producent	RBS / SRAN Ericsson															
2	Częstotliwość (pasmo) MHz	900	800	2600	2100	1800	2600	2100	1800	2600	900	800	2100	1800	2100	1800	
3	Maksymalna moc nadawana na sektor [dBm]	47,78	49,03	49,03	50	50	49,03	50	50	52,04	47,78	49,03	50	50	50	50	
<b>Obciążenie:</b>																	
1	Typ anteny	Kathrein 80010634	Huawei AMB4520R0			Huawei AMB4520R0			Huawei ADU4518R6	Kathrein 80010634	Kathrein 742215	Kathrein 742215					
2	Producent anteny	Kathrein	Huawei			Huawei			Huawei	Kathrein	Kathrein	Kathrein					
3	Ilość anten	1	1			1			1	1	1	1					
4	Azymut	0	30					120									
5	Zakres kątów pochylenia anten [°]	0-10	0-10					0-12	0-10	0-10	0-10	0-10	0-10	0-10	0-10	0-10	
6	Wysokość zainst. n.p.t. [m]	34,79	34,79					34,79	34,79	35,10	35,10						
7	EIRP [W]	5886	23001			23001			10122	5886	11490	11490					

Charakterystyka promieniowania		kierunkowa														
Rzeczywisty czas pracy [h/dobę]		24														
Rodzaj wytwarzanego pola		stacjonarne														
Lp	Wyszczególnienie	sektor 4							sektor 5							
I	Nadajnik stacji bazowej:															
1	Typ / Producent	RBS / SRAN Ericsson														
2	Częstotliwość (pasmo) MHz	2600	900	800	2100	1800	2100	1800	2600	2100	1800	2600	2100	1800		
3	Maksymalna moc nadawana na sektor [dBm]	52,04	47,78	49,03	50	50	50	50	49,03	50	50	49,03	50	50		
II	Obciążenie:															
1	Typ anteny	Huawei ADU4521R0	Kathrein 80010634	Kathrein 742215	Kathrein 742215	Huawei AMB4520R0	Huawei AMB4520R0									
2	Producent anteny	Huawei	Kathrein	Kathrein	Kathrein	Huawei	Huawei									
3	Ilość anten	1	1	1	1	1	1									
4	Azymut	240					330									
5	Zakres kątów pochYLENIA anten [°]	0-6	0-10	0-10	0-10	0-10	0-10	0-10	0-10	0-10						
6	Wysokość zainst. n.p.t. [m]	34,49	34,79		35,10		35,10		34,79							
7	EIRP [W]	19734	5886		11490		11490		23001		23001					

Tabela 2. Anteny radioliniowe- dane otrzymane od klienta

Charakterystyka promieniowania				kierunkowa			
Rzeczywisty czas pracy [h/dobę]				24			
Rodzaj wytwarzanego pola				stacjonarne			
Linia radiowa				Antena			
Lp	typ/producent	częstotliwość pracy [GHz]	moc wyjściowa [dBm]	typ/producent	średnica anteny [m]	azymut [°]	wysokość zainstal. [m]
1	OPTIX RTN/HUAWEI	80	18	VHLP2-80/Andrew	0,6	134	33,30
2	OPTIX RTN/HUAWEI	80/23	17/25	A23S80S06/Huawei	0,6	316	33,30

## 6. Wyniki pomiarów.

Wyniki pomiarów pól elektromagnetycznych dla celów ochrony środowiska przedstawia poniższa tabela. Piony pomiarowe zostały przedstawione w zał. 2.

Nr PP	Pole-E [V/m]	Pole-E, +U [V/m]	Pole-H [A/m]	Pole-H +U [A/m]	Wys. pomiaru [m]	Opis pionu	Uwagi	WM <sub>E</sub>	WM <sub>H</sub>
1	1,6	2,54	0,004	0,007	0,3-2,0	N:51°15'53.2" E:22°29'11.5"	otoczenie stacji bazowej - 50m wzdłuż gł. osi promieniowania - GKP	0,091	0,092
2	1,7	2,70	0,005	0,007	0,3-2,0	N:51°15'54.5" E:22°29'11.8"	otoczenie stacji bazowej - 100m wzdłuż gł. osi promieniowania - GKP	0,097	0,098
3	1,3	2,07	0,003	0,005	0,3-2,0	N:51°15'56.2" E:22°29'12.3"	otoczenie stacji bazowej - 150m wzdłuż gł. osi promieniowania - GKP	0,074	0,075
4	1,0	1,59	0,003	0,004	0,3-2,0	N:51°15'59.2" E:22°29'12.2"	otoczenie stacji bazowej - 250m wzdłuż gł. osi promieniowania - GKP	0,057	0,058
5	0,8	1,27	0,002	0,003	0,3-2,0	N:51°16'02.5" E:22°29'12.2"	otoczenie stacji bazowej - 350m wzdłuż gł. osi promieniowania - GKP	0,045	0,046
6	1,5	2,39	0,004	0,006	0,3-2,0	N:51°15'52.9" E:22°29'12.5"	otoczenie stacji bazowej - 50m wzdłuż gł. osi promieniowania - GKP	0,085	0,087
7	1,2	1,91	0,003	0,005	0,3-2,0	N:51°15'54.1" E:22°29'14.3"	otoczenie stacji bazowej - 100m wzdłuż gł. osi promieniowania - GKP	0,068	0,069
8	1,7	2,70	0,005	0,007	0,3-2,0	N:51°15'56.4" E:22°29'16.8"	otoczenie stacji bazowej - 200m wzdłuż gł. osi promieniowania - GKP	0,097	0,098
9	1,3	2,07	0,003	0,005	0,3-2,0	N:51°15'59.4" E:22°29'21.3"	otoczenie stacji bazowej - 250m wzdłuż gł. osi promieniowania - GKP	0,074	0,075

„Bez pisemnej zgody Laboratorium niniejsze sprawozdanie nie może być powielane inaczej, jak tylko w całości. Ponadto wyniki dotyczą tylko badanych obiektów przywołanych w niniejszym sprawozdaniu z badań”

10	1,4	2,23	0,004	0,006	0,3-2,0	N:51°15'50.3" E:22°29'14.3"	otoczenie stacji bazowej - 50m wzdłuż gł. osi promieniowania - GKP	0,080	0,081
11	1,1	1,75	0,003	0,005	0,3-2,0	N:51°15'49.5" E:22°29'16.7"	otoczenie stacji bazowej - 100m wzdłuż gł. osi promieniowania - GKP	0,062	0,064
12	0,8	1,27	0,002	0,003	0,3-2,0	N:51°15'48.7" E:22°29'18.6"	otoczenie stacji bazowej - 150m wzdłuż gł. osi promieniowania - GKP	0,045	0,046
13	0,7*	1,27	0,002	0,003	0,3-2,0	N:51°15'48.0" E:22°29'20.1"	otoczenie stacji bazowej - 200m wzdłuż gł. osi promieniowania - GKP	0,045	0,046
14	0,9	1,43	0,002	0,004	0,3-2,0	N:51°15'45.3" E:22°29'26.8"	otoczenie stacji bazowej - 350m wzdłuż gł. osi promieniowania - GKP	0,051	0,052
15	0,8	1,27	0,002	0,003	0,3-2,0	N:51°15'50.6" E:22°29'08.8"	otoczenie stacji bazowej - 50m wzdłuż gł. osi promieniowania - GKP	0,045	0,046
16	0,7*	1,27	0,002	0,003	0,3-2,0	N:51°15'49.9" E:22°29'06.1"	otoczenie stacji bazowej - 100m wzdłuż gł. osi promieniowania - GKP	0,045	0,046
17	0,7*	1,27	0,002	0,003	0,3-2,0	N:51°15'48.9" E:22°29'04.4"	otoczenie stacji bazowej - 150m wzdłuż gł. osi promieniowania - GKP	0,045	0,046
18	0,7*	1,27	0,002	0,003	0,3-2,0	N:51°15'48.4" E:22°29'01.6"	otoczenie stacji bazowej - 200m wzdłuż gł. osi promieniowania - GKP	0,045	0,046
19	0,7*	1,27	0,002	0,003	0,3-2,0	N:51°15'47.7" E:22°29'00.2"	otoczenie stacji bazowej - 250m wzdłuż gł. osi promieniowania - GKP	0,045	0,046
20	0,7*	1,27	0,002	0,003	0,3-2,0	N:51°15'46.2" E:22°28'55.4"	otoczenie stacji bazowej - 350m wzdłuż gł. osi promieniowania - GKP	0,045	0,046
21	1,3	2,07	0,003	0,005	0,3-2,0	N:51°15'52.8" E:22°29'10.8"	otoczenie stacji bazowej - 50m wzdłuż gł. osi promieniowania - GKP	0,074	0,075
22	1,5	2,39	0,004	0,006	0,3-2,0	N:51°15'54.2" E:22°29'09.1"	otoczenie stacji bazowej - 100m wzdłuż gł. osi promieniowania - GKP	0,085	0,087
23	1,7	2,70	0,005	0,007	0,3-2,0	N:51°15'58.6" E:22°29'05.9"	otoczenie stacji bazowej - 250m wzdłuż gł. osi promieniowania - GKP	0,097	0,098
24	0,8	1,27	0,002	0,003	0,3-2,0	N:51°16'00.3" E:22°29'04.3"	otoczenie stacji bazowej - 300m wzdłuż gł. osi promieniowania - GKP	0,045	0,046
25	0,7*	1,27	0,002	0,003	0,3-2,0	N:51°16'01.6" E:22°29'03.4"	otoczenie stacji bazowej - 350m wzdłuż gł. osi promieniowania - GKP	0,045	0,046
26	1,2	1,91	0,003	0,005	0,3-2,0	N:51°15'53.1" E:22°29'15.4"	otoczenie stacji bazowej - GKP	0,068	0,069
27	1,3	2,07	0,003	0,005	0,3-2,0	N:51°15'51.6" E:22°29'14.6"	otoczenie stacji bazowej - GKP	0,074	0,075
28	1,1	1,75	0,003	0,005	0,3-2,0	N:51°15'51.3" E:22°29'17.7"	otoczenie stacji bazowej - GKP	0,062	0,064
29	1,1	1,75	0,003	0,005	0,3-2,0	N:51°15'49.2" E:22°29'12.1"	otoczenie stacji bazowej - GKP	0,062	0,064
30	1,0	1,59	0,003	0,004	0,3-2,0	N:51°15'49.4" E:22°29'09.8"	otoczenie stacji bazowej - GKP	0,057	0,058
31	1,0	1,59	0,003	0,004	0,3-2,0	N:51°15'51.9" E:22°29'08.4"	otoczenie stacji bazowej - GKP	0,057	0,058
32	1,0	1,59	0,003	0,004	0,3-2,0	N:51°15'52.8" E:22°29'07.2"	otoczenie stacji bazowej - GKP	0,057	0,058
A	1,0	1,59	0,003	0,004	0,3-2,0	N:51°15'51.3" E:22°29'11.6"	Główna 34, pomiar przed budynkiem -DPP	0,057	0,058
B	0,7*	1,27	0,002	0,003	0,3-2,0	N:51°15'47.5" E:22°29'03.2"	Główna 45, pomiar przed budynkiem -DPP	0,045	0,046
C	1,6	2,54	0,004	0,007	0,3-2,0	N:51°15'54.2" E:22°29'07.9"	Główna 39, pomiar prze bramą -DPP	0,091	0,092
D	1,5	2,39	0,004	0,006	0,3-2,0	N:51°15'54.5" E:22°29'09.2"	Główna 37, pomiar prze bramą -DPP	0,085	0,087
E	1,2	1,91	0,003	0,005	0,3-2,0	N:51°15'57.2" E:22°29'08.7"	Deszczowa 4, pomiar prze bramą - DPP	0,068	0,069
F	1,1	1,75	0,003	0,005	0,3-2,0	N:51°15'57.5" E:22°29'07.7"	Deszczowa 6, pomiar prze bramą - DPP	0,062	0,064
G	1,0	1,59	0,003	0,004	0,3-2,0	N:51°15'58.3" E:22°29'06.6"	Deszczowa 8, pomiar prze bramą - DPP	0,057	0,058
H	1,0	1,59	0,003	0,004	0,3-2,0	N:51°15'58.7" E:22°29'06.1"	Deszczowa 10, pomiar prze bramą - DPP	0,057	0,058
I	1,5	2,39	0,004	0,006	0,3-2,0	N:51°15'57.1" E:22°29'12.8"	Główna 33, pomiar prze bramą -DPP	0,085	0,087
J	1,4	2,23	0,004	0,006	0,3-2,0	N:51°15'57.8" E:22°29'13.8"	Główna 31, pomiar prze bramą -DPP	0,080	0,081

„Bez pisemnej zgody Laboratorium niniejsze sprawozdanie nie może być powielane inaczej, jak tylko w całości. Ponadto wyniki dotyczą tylko badanych obiektów przywołanych w niniejszym sprawozdaniu z badań”

K	1,0	1,59	0,003	0,004	0,3-2,0	N:51°15'59.5" E:22°29'11.8"	Główna 29a, pomiar przed budynkiem -DPP	0,057	0,058
L	0,7*	1,27	0,002	0,003	0,3-2,0	N:51°16'01.5" E:22°29'12.3"	Budynek letniskowy, pomiar przez bramę -DPP	0,045	0,046
M	Brak dostępu- pomieszczenia gospodarcze								
N	1,7	2,70	0,005	0,007	0,3-2,0	N:51°15'54.2" E:22°29'14.6"	Deszczowa 5, pomiar przez bramę -DPP	0,097	0,098
O	0,7*	1,27	0,002	0,003	0,3-2,0	N:51°15'49.3" E:22°29'15.7"	Główna 34, pomiar przed budynkiem -DPP	0,045	0,046
P	0,8	1,27	0,002	0,003	0,3-2,0	N:51°15'46.5" E:22°29'25.1"	Mgielna 37a, pomiar przed budynkiem -DPP	0,045	0,046

Wynik pomiaru pole - E [V/m] - maksymalna wartość chwilowa zmierzona w danym pionie pomiarowym (uśredniona na podstawie punktu 11 Rozporządzenia Ministra Zdrowia).

Przyjęto najniższą dopuszczalną wartość składowej elektrycznej pola dla objętego pomiarami zakresu częstotliwości  $\min(ME_{gr})= 28 \text{ V/m}$  oraz składowej magnetycznej  $\min(MH_{gr})= 0,073 \text{ A/m}$ .

\* - wartość zmierzona poniżej zakresu akredytacji. Do obliczeń przyjęto wartość zgodną z dolną granicą akredytowanego zakresu pomiarowego metody.

GKP - główne kierunki pomiarowe

PKP - pomocnicze kierunki pomiarowe

DPP - dodatkowe punkty pomiarowe

PP - pion pomiarowy

U - niepewność pomiarowa rozszerzona, przy poziomie ufności 95%, z uwzględnieniem współczynnika rozszerzenia  $k=2$

$WM_E$  - wartość wskaźnikowa poziomu emisji pól elektromagnetycznych dla miejsc dostępnych dla ludności dla składowej elektrycznej pola

$WM_H$  - wartość wskaźnikowa poziomu emisji pól elektromagnetycznych dla miejsc dostępnych dla ludności dla składowej magnetycznej pola

## 7. Stwierdzenie zgodności

Na podstawie wytycznych podanych w Rozporządzeniu Ministra Zdrowia z dnia 17 grudnia 2019 r. w sprawie dopuszczalnych poziomów pól elektromagnetycznych w środowisku (Dz.U. 2019 poz. 2448) oraz sposobów sprawdzania dotrzymania tych poziomów zgodnie z Rozporządzeniem Ministra Klimatu z dnia 17 lutego 2020 r. w sprawie sposobów sprawdzania dotrzymania dopuszczalnych poziomów pól elektromagnetycznych w środowisku (Dz.U. 2020 poz. 258) oraz Rozporządzeniem Ministra Klimatu i Środowiska z dnia 6 maja 2022 r. zmieniającego rozporządzenie w sprawie sposobów sprawdzania dotrzymania dopuszczalnych poziomów pól elektromagnetycznych w środowisku (Dz.U. 2022 poz. 1121), dotyczących źródła wymagań, które muszą być spełnione, w oparciu o zasadę podejmowania decyzji zgodną z pkt 26 Rozporządzenia Ministra Klimatu z dnia 17 lutego 2020 r. (Dz.U. 2020 poz. 258), na podstawie wyników pomiarów pól elektromagnetycznych wykonanych w dniu 02.08.2022 stwierdzono, iż w miejscach dostępnych dla ludności, dopuszczalne poziomy pól elektromagnetycznych w środowisku, określone w przepisach wydanych na podstawie art. 122 ust. 1 ustawy z dnia 27 kwietnia 2001 r. – Prawo ochrony środowiska, uznaje się za dotrzymane w obszarze pomiarowym, w którym w wyniku zastosowania sposobu sprawdzenia dotrzymania dopuszczalnych poziomów pól elektromagnetycznych w środowisku, udokumentowano, że żadna z wartości wskaźnikowych nie przekracza wartości 1.

## 8. Oświadczenie.

Wyniki badania odnoszą się wyłącznie do badanego obiektu.

Bez pisemnej zgody sprawozdanie nie może być powielane inaczej, jak tylko w całości.

Uwagi i zastrzeżenia przyjmowane są w formie pisemnej w ciągu 14 dni od daty otrzymania sprawozdania.



## 9. Spis załączników.

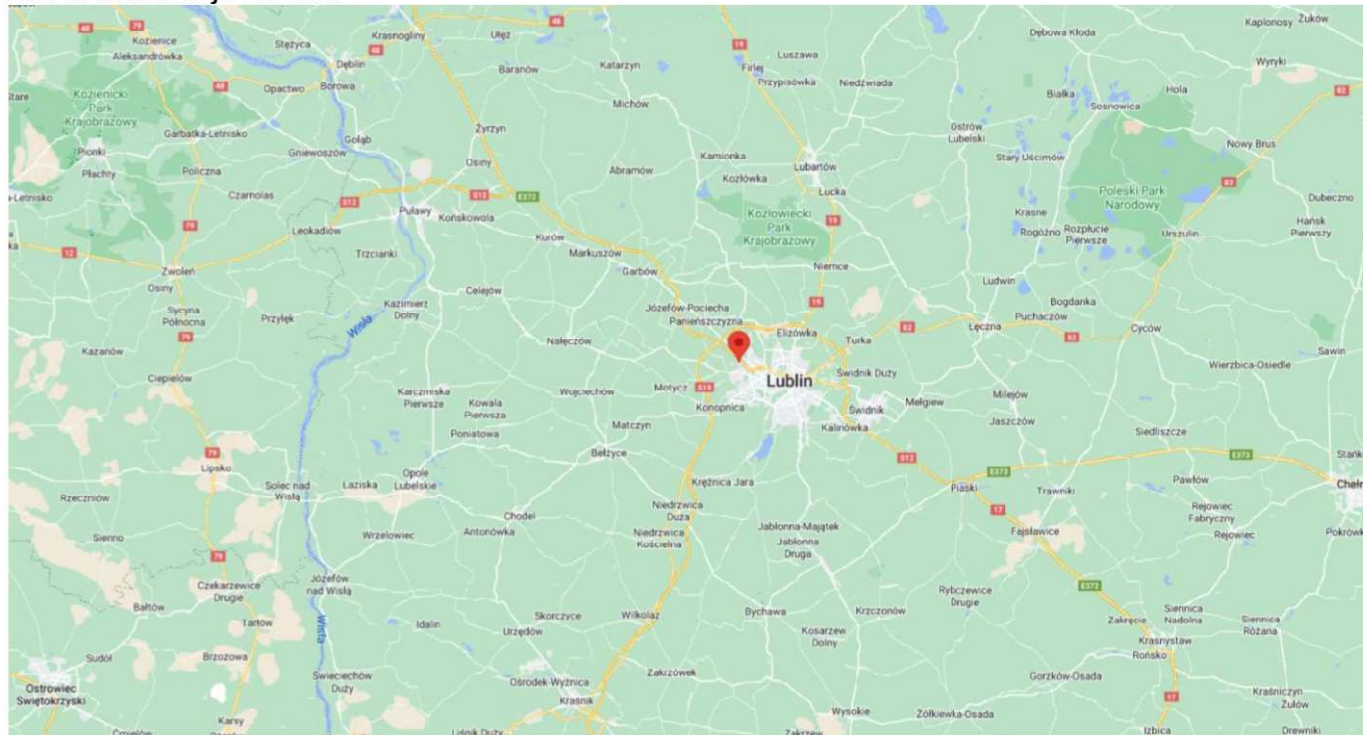
Załącznik 1. Lokalizacja obiektu.

Załącznik 2. Widok pionowy pomiarowy

Załącznik 3. Załączniki graficzne

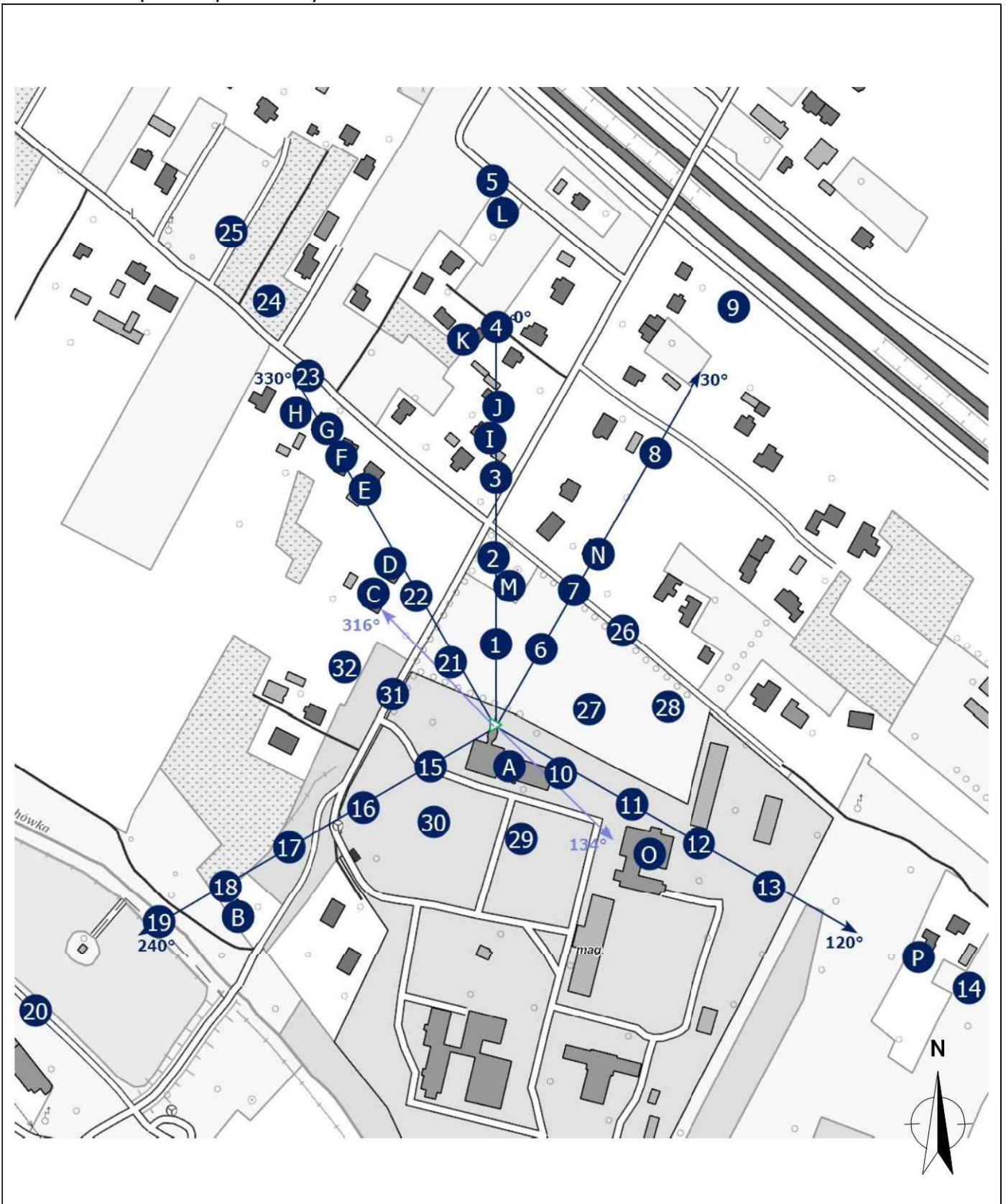
**Koniec sprawozdania**

### Załącznik 1. Lokalizacja obiektu




Współrzędne geograficzne	
długość:	22°29'11.59"E
szerokość:	51°15'51.42"N


Załącznik 2. Widok pionów pomiarowych




LEGENDA:

 inna instalacja radiokomunikacyjna

 brak dostępu

 pion pomiaru

 antena sektorowa

 antena radioliowa

Skala:1:4200



„Bez pisemnej zgody Laboratorium niniejsze sprawozdanie nie może być powielane inaczej, jak tylko w całości. Ponadto wyniki dotyczą tylko badanych obiektów przywołanych w niniejszym sprawozdaniu z badań”

Załącznik 3. Załączniki graficzne.

